

In

1975

Cataland G. et al.

(Tr)

Metropologia 1975, 11(4)  
161-3 (eng)

(au Pb; 1)

Jn-(c)

OTT. 4824

1975

Kerr J.A., et al.

(MF) Handbook Elecl. Phys.,  
55 th Ed., 1974-75

In

9 Б838. Применение проточной калориметрии для исследования процессов образования сплавов. I. Энталпии растворения In, Tl, Cd, Zn, Pb, Ga, Sn и Bi в Hg при 293,15 К. Marcos F., Navarro J., Togga V. Application of flow calorimetry to the study of alloy formation. I. Enthalpies of solution of In, Tl, Cd, Zn, Pb, Ga, Sn, and Bi in Hg at 293.15 K. «J. Chem. Thermodyn.», 1975, 7, № 11, 1059—1066 (англ.)

ст 61  
ст 64

С помощью микрокалориметра Тиана—Кальве измерены при 293,15 К энталпии р-рения в ртути In, Tl, Cd, Zn, Pb, Ga, Sn и Bi до конц-ий  $x \sim 10^{-3}$  ат. доли. Концентрац. зависимости  $\Delta H_p$  представлены полиномами  $\Delta H_p = a_0 + a_1x + a_2x^2 + a_3x^3 + a_4x^4 + a_5x^5$  и  $\Delta H_p/x = a_0' + a_1'x + a_2'x^2 + a_3'x^3 + a_4'x^4 + a_5'x^5$ ; константы  $a_0 \dots a_5$  и  $a_0' \dots a_5'$  табулированы. Установлено, что обе зависимости хорошо представляют эксперим. данные. Рассчитаны энталпии р-рения при бесконечном разбавлении, равные —5,99; —3,28; —2,41; 9,62; 9,72; 13,4; 14,0 и 17,7 кдж/моль для In, Tl, Cd, Zn, Pb, Ga, Sn и Bi соотв. Зависимость  $\Delta H_p^\infty$  от ат. радиуса металла выражена ур-нием  $\Delta H_p^\infty = -4,96 - 0,679 F + 0,428 F^2$ , где  $F = 100 (r_m - r_{Hg}) / (r_m + r_{Hg})$ , а  $r_m$  и  $r_{Hg}$  — ат. радиусы металла и ртути. Отмечено, что использованная методика эксперимента позволяет определить потери энергии в процессе образования сплава. П. М. Чуколов

++

☒

X 1976 № 9

In

1975

Tl

Cd

Zn

Pb

fa, Sn, Bi

( $\Delta H_{\text{soln.}}$ )

84: 36002a Application of flow calorimetry to the study of alloy formation. I. Enthalpies of solution of indium, thallium, cadmium, zinc, lead, gallium, tin, and bismuth in mercury at 293.15°K. Marco, F.; Navarro, J.; Torra, V. (Fac. Fis., Univ. Barcelona, Barcelona, Spain). *J. Chem. Thermodyn.* 1975, 7(11), 1059-66 (Eng). The results obtained for the enthalpies of soln. at infinite diln. [In,  $-(5.99 \pm 0.03)$ ; Tl,  $-(3.28 \pm 0.05)$ ; Cd,  $-(2.41 \pm 0.01)$ ; Zn,  $(9.62 \pm 0.05)$ ; Pb,  $(9.72 \pm 0.04)$ ; Ga,  $(13.4 \pm 0.2)$ ; Sn,  $(14.0 \pm 0.1)$ ; and Bi,  $(17.7 \pm 0.1)$  kJ mol<sup>-1</sup> at 293.15°K] suggest a general dependence upon the at. radius of the dissolved metal. The exptl. technique allows one to calc. the energy dissipated during alloy formation and to take as a working hypothesis that the rate of dissoln. is limited by solute migration within the alloy.



+7



C. A. 1976. 84. N6

In

1975

86: 179911y Measurement of the temperature dependence of indium vapor optical density according to the 303.9 and 410.2 nm resonance lines. Muradova, O. N. (USSR). *Optoelektronika Spektrosk.* 1975, 1, 76-81 (Russ). The temp. dependence of pure In vapor optical d. was measured according to the title resonance lines at 610-738 and 658-761°, resp., with consideration of the effect of superfine structure of the lines.

J. Milka

C.A. 1977. 86 N24

1975

JN

(P)

33584j. Departure from Knudsen's cosine law during the boat evaporation of indium. Rawat, S. D. (Phys. Res. Lab., Ahmedabad, India). *J. Vac. Sci. Technol.*, 1975, 12(3), 725-6. (Eng.) Knudsen's cosine law for free mol. flow is not obeyed in vacuum evapn. of In for film deposition from Mo boats.

C.A. 1975. 83 n6

XV-2499

1975

In

4 Б952. Калориметрические измерения в системе Cd—In. Rosina Andrej. Calorimetric measurements in Cd—In system. «Thermal Anal. Proc. 4-th Int. Conf. Thermal Anal.», Budapest, 1974. Vol. 1». Budapest, 1975, 811—824 (англ.)

Методом ДТА определены теплота плавления In и теплоты смешения Cd—In в тв. и жидк. состояниях. Исследованы 18 образцов во всей области составов системы Cd—In. В кач-ве стандарта использовался Ni. Теплота смешения металлов в жидк. состоянии имеет максимум примерно при 70 ат.% In, т. е. в эвтектич. области. Зависимость теплоты смешения от состава в тв. состоянии имеет максимум для смеси того же состава и изгиб в области 20—35 ат.% In, что объяс-нено отриц. теплотой образования соединений  $\text{InCd}_3$ .

Т. Н. Винецкая

X. 1976. N4



(+) Cd-In (анализ)

*Widmann G.*

1975

*4n*

17 Б833. Количествоные изотермические исследования [с помощью] ДТА. Widmann Georg. Quantitative isothermal DTA-studies. «Thermochim. acta», 1975, 11, № 3, 331—333 (англ.)

Показана возможность колич. определения тепловых эффектов с помощью ДТА по величине площади пика на примере р-ции отвердевания эпоксидной смолы. Метод применим также к эндотермич. р-циям, напр., плавлению I<sub>p</sub>. Термодинамика плавления I<sub>p</sub>, определенная как разность площадей пиков ДТА плавления I<sub>p</sub> и инертного материала примерно такой же теплоемкости (Al<sub>2</sub>O<sub>3</sub>), равна 6,84 кал/г.

Л. Г. Титов

(ΔH<sub>m</sub>)

X 1975 N/17

In

Richardson M.J.  
Saville N.B.

1975

Thermochim Acta

(ΔHm)

1975, 12 (3), 221-6

Reexamination of the  
heat of fusion of In.

C.A. 1975. 83 n 10 N 85970c

50829.3437

TC,Mt,Ph

30069

In

1975  
3268

Silbert M.Umar I.A.H., Watabe M., Young W.H.  
Entropies and structure factors of liquid  
metals."J.Phys.F: Met.Phys.", 1975, 5, N 7,  
1262-1276 (англ.)

0441 УАК

411 411

ВИНИТИ

In

1975

(Dg)

84: 141608a Temperature dependence of the x-ray Debye temperature of indium. Vold, C. L.; Richards, L. E. (Met. Sci. Div., Nav. Res. Lab., Washington, D. C.). Rep. N.R.L. Eng. 1975, (March), 35-6 (Eng). The temp. dependence of a  $\lambda_{Deb}$ . Bragg reflection was studied from a single crystal of In. The x-ray Debye temp. and the Debye-Waller temp. parameters. The x-ray Debye temp. and the Debye temp. are 92 and 333, resp.

C.A. 1976 84 N20

1976

Уг (ж)

22 Б676. Об исследовании теплоемкости жидкого металлов при высоких температурах под давлением.  
 Филиппов Л. П., Благоиравов Л. А., Алексеев В. А. В сб. «Физ. и физ.-химия жидкостей»,  
 Вып. 3. М., Моск. ун-т 1976, 152—159

Сконструирована калориметрическая установка для измерения теплоемкости  $C_p$  жидк. металлов до  $1200^{\circ}\text{K}$ . Жидк. металл в контейнере из Nb, Ta или Mo нагревается электрическим током при помощи модуляц. схемы, включающей генератор низких частот, усилитель тока, реле и магнитный пускател. Измерения переменной и постоянной составляющей светимости образца производятся фотоэлектрическим методом. Средняя яркостная темпера определяется оптическим пирометром. Измерение вводимой в образец мощности осуществляется путем регистрации тока и напряжения на изотермич. участке образца. В пределах погрешности эксперимента не обнаружено влияние теплообмена на результаты измерений. Опробование установки проведено на жидком индии, получено  $C_p(1130^{\circ}\text{K}) = 6,8$  и  $C_p(1220^{\circ}\text{K}) = 6,6$  кал/г-ат.

град.

Л. Резницкий

(C<sub>p</sub>)(C<sub>p</sub>)

1-3262-XV

890

(41) 18

жидкий  
метали

1076

*In (m)*

89-186881a Study of the thermal conductivity and heat capacity of liquid indium. Khusainova, B. N.; Pavlova, V. I. (USSR). *Primen. Ultraakust. Issled. Veshchestva* 1976, 26, 59-65 (Russ). The thermal cond. was measured at 700-1300 K, the heat capacity at 500-1200 K. The results are presented in form of graphs.

(C<sub>p</sub>)

C.A. 1978, 89, 1122

*In (гелий)*

9 Б545. Решеточная теплоемкость сверхпроводящих аморфных пленок индия. Comberg A., Ewert S., Wühl H. Lattice specific heat of superconducting amorphous indium films. «Z. Phys.», 1976, B25, № 2, 173—176 (англ.)

( $C_p$ )  
пленки

Измерена теплоемкость ( $C_p$ ) при т-рах 0,6—5° К (гелиевый релаксац. калориметр) аморф. Пл In + 20 ат. % Sb толщиной 2000 Å на подложке из Ве с погрешностью  $<10\%$  (5° К) и  $\sim 30\%$  (0,6° К). Установлено, что ниже 1,5° К справедлив закон Дебая ( $\theta_D = 61 \pm 6$ ° К). Более низкие, чем у массивных образцов значения  $\theta_D$  объяснены присутствием Sb, оказывающей стабилизирующе действие на неупорядоченную решетку даже в условиях отжига. Во всем интервале т-р закон  $T^3$  несправедлив. Линейной по т-ре составляющей  $C_p$ , характерной для многих аморф. тел, не обнаружено. Расчет теплоемкости в предположении квадратичной формы частотного спектра при  $\theta_D = 67$ ° К (аморф.) и  $\theta_D = 95$ ° К (крист.) дает согласие с экспериментом и объясняет соотношение  $C_p$  (аморф.)/ $C_p$  (крист.)  $\approx 3,5$  при т-рах 10—2° К.

С. В. Немилов

Х. 1977 № 9

In

1976

Ewert S.

(Cp)

clater. Sci. Eng. 1976,  
23(2-3) 275-6 (eng)

(au Tl; -)

1976

In

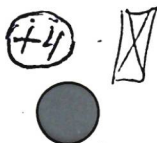
Pb

86: 111279t New reference points in low-temperature thermometry. Pogorelova, O. F.; Orlova, M. P.; Kytin, G. A. (USSR). *Izmer. Tekh.* 1976, (11), 58-9 (Russ). The supercond. transition temps.,  $T_c$ , of In, Pb, and of  $Nb_{0.5}Zr_{0.5}$ ,  $Nb_{0.75}Si_{0.25}$ , and  $Nb_{0.7}Al_{0.2}Ge_{0.1}$  alloys were detd. by the method of . and O. (1974). The  $T_c$  values of In and Pb are compared with the values of J.F. Schooley and R.E. Soulen, 1973. The  $T_c$  values are proposed as ref. points for new temp. scales or for comparision of the existing temp. scales.

$Nb_{0.75}Si_{0.25}$

$Nb_{0.7}Al_{0.2}Ge_{0.1}$

(T<sub>t2</sub>)



C.A. 1972, 26N16

Jn

1976

86: 79699s Measurement of the enthalpy of melting with differential calorimeter DSC-1B. Lisy, J. M.; Kutej, J. (Chémickotechnol. Fak., Slov. Vys. Sk. Tech., Bratislava, Czech.). Termanal '76, Celostatna Konf. Term. Anal., [Pr.], 7th 1976, P-5-P-10 (Slo). Slov. Chem. Spoločnosť SAV: Bratislava, Czech. Specific melting heat of In was detd. on a com. differential scanning calorimeter;  $\Delta H = 29.4 \pm 0.5$  J/g was found from 4 measurements with the 99.999% In samples. Details of devices for the app. temp. calibration with respect to sapphire normals and evaluation of corrections are given. T. Boublík

( $\Delta H_{In}$ )

C.A. 1977. 86 n12

60729.7384  
Ph, TC

In (<sup>209</sup>In) 1976  
XUT13579

Field D.W.

Mean square vibration amplitudes  
in indium.

"J. Phys. F : Met. Phys.", 1976, 6, N 5,  
L135-L136 (ISSR.)

0663 пик

636 642 655 1

ВИНИТИ

Zn

1976

Sinha D. P.

Indian J. Pure Appl  
Phys 1976, 14(8) 682-3  
(eng)

D<sub>D</sub>

(all Zn;

In  
Pb  
Nb

(T<sub>c</sub>)

Погорелова О.Ф.,  
Костюк Г.А., Орлова М.Р.

1977

87: 61403b Study of the superconducting transitions of pure indium, lead, and niobium metals. Pogorelova, O. F.; Kostyuk, G. A.; Orlova, M. P. (USSR). Zh. Fiz. Khim. 1977, 51(5), 1065-8 (Russ.). In an attempt to establish ref. points for an international temp. scale in the range 4.2-13.81 K, an app. for measuring superconducting transition temps. (T<sub>c</sub>) was prep'd. and used to det. T<sub>c</sub> for In (3.399s), Pb (7.194), and Nb (9.245 K) on the International Practical Temperature Scale of 1968. The reproducibility of the T<sub>c</sub> values was  $\leq 0.3$  K, and the widths of the transitions ( $\Delta T_c$ ) were 2 mK for In and Pb and 10 mK for Nb.

(42) 18

C.A. 1977-87 n 8

Berrep A.A. u d p

1972

86: 146669x Determination of enthalpies of formation of melts in the indium-bismuth-antimony-tellurium quaternary system by quantitative thermal analysis. Vecher, A. A.; Mechkovskii, L. A.; Savitskii, A. A.; Skoropanov, A. S.; Shalukhina, T. A. (Beloruss. Gos. Univ. im. Lenina, Minsk, USSR). *Zh. Fiz. Khim.* 1977, 51(1), 226-7 (Russ). By using the method of quant. thermal anal., the enthalpies of formation,  $\Delta H_f$ , were detd. at 970 K of melts in the quaternary In-Bi-Sb-Te system both from pure components and from  $\text{Bi}_2\text{Te}_3$ ,  $\text{In}_2\text{Te}_3$ , and  $\text{Sb}_2\text{Te}_3$ . The results of expts. in the quaternary system (5 sections of const.  $\text{Bi}_2\text{Te}_3/\text{Sb}_2\text{Te}_3$  ratios) are presented graphically. The formation of melts from pure components in the quaternary system is accompanied by a substantial decrease in enthalpy whereas from the intermetallic compds. by an increase in enthalpy (max. value  $\Delta H_f = 0.79$  kcal/g. atom at  $x_{\text{Te}} = 0.6$ ,  $x_{\text{In}} = 0.24$ ,  $x_{\text{Bi}} = 0.107$ , and  $x_{\text{Sb}} = 0.053$ ). J. J. Linek

(4 Hf)

C.A. 1977, 86 N20



†6 18

1978

In

91: 100750s Specific heat of superconducting films of  
indium and of indium alloyed with magnetic impurities.  
Gibson, Brian Charles (Univ. Illinois, Urbana, IL USA). 1978.  
134 pp. (Eng). Avail. Univ. Microfilms Int., Order No. 7913470.  
From *Diss. Abstr. Int. B* 1979, 39(12, Pt. 1), 5989.

( $C_p$ )

O.A. 1979, 91 N12

In

annua 8778

1978

89: 170010h Heat capacity of indium from 300 to 1000 K.  
Enthalpy of fusion. Groenvold, F. (Dep. Chem., Univ. Oslo,  
Blindern/Oslo, Norway). *J. Therm. Anal.* 1978, 13(3), 419-28  
(Eng). The heat capacity of high-purity In was detd. by  
adiabatic-shield calorimetry. Values of the thermodn. functions  
were calcd.:  $C_p$ (1000 K), [ $H^o$ (1000 K) -  $H^o$ (298.15 K)], and  
[ $S^o$ (1000 K) -  $S^o$ (298.15 K)] are  $27.11 \pm 0.15$  J/K-mole,  $22,873 \pm 70$  J/mol, and  $41.567 \pm 0.125$  J/K-mole, resp. The  
enthalpy of fusion is  $3283 \pm 7$  J/mol and the melting temp.  
 $429.77 \pm 0.01$  K. The premelting heat capacity is compatible  
with the presence of a mol fraction  $x \sim 1 \times 10^{-6}$  of an impurity in  
the sample.

Tm

C.A. 1978, 89, N20

*In* оптисел 8778 1978

19861. Термоемкость индия от 300 до 1000 К. Энталпия плавления. Gronvold F. Heat capacity of indium from 300 to 1000 K. Enthalpy of fusion. «J. Therm. Anal.», 1978, 13, № 3, 419—428 (англ., рез. нем., франц., рус.)

( $C_p$ ,  $\Delta H_{\text{fus}}$ ) В интервале т-р 300—1000 К в адиабатич. калориметре измерена теплоемкость высокочистого In. Значения термодинамич. функций  $C_p$  дж/моль·град,  $H_t - H_{298,15}$  дж/моль и  $S_t - S_{298,15}$  дж/моль·град составили соотв.: 400 К 28,85, 2837,1 и 8,172; 500 К 28,85, 9035 и 22,318; 1000 К 27,11, 22 873 и 41,567. Энталпия плавления составила  $3283 \pm 7$  дж/моль при т. пл.  $429,77 \pm 0,01$  К. Поведение  $C_p$  изученного образца в области предплавления отвечает наличию  $1 \cdot 10^{-6}$  мол. доли примеси, р-римой в жидк. и нер-римой в тв. фазах.

А. Б. Кисилевский

22.1978, N1

$\gamma_n$

(commenc 6194)

1948

Zwergs Malcolm G.,  
et al

Thermochim. acta, 1948,  
23, N2, 365-370 (ans)

( $\Delta H_m$ )

cell.  $\text{NaNO}_3 - \text{I}$

1978

In

Ramachandrarao P.

Z. Metallkd. 1978, 69(10),

656 - 60

Sm



(Cu Ag)  $\overline{1}$

1978  
In  
(In)

1 Б904. Давление пара и термодинамические свойства  $MgIn_2O_4$ . Valderama - N. J., Jacob K. T. Vapor pressure and thermodynamic properties of  $MgIn_2O_4$ . «J. Inorg. and Nucl. Chem.», 1978, 40, № 6, 993—997 (англ.)

Эффузионным методом с использованием вакуумных весов измерено давл. пара над жидк. In (1120—1344 К) и над системой In(жидк.)— $MgIn_2O_4$ (тв.)— $MgO$ (тв.) (1095—1308 К). Испарение образцов проводили в камерах Кнудсена из  $ZrO_2$ . Аппаратуру калибровали по Ag. Масс-спектрометрич. анализ газовой фазы над системой показал, что основными компонентами пара являются In и  $In_2O$ . Был зарегистрирован в небольшом кол-ве ион  $MgIn_2O_4^+$ . Для чистого In найдено  $\lg P = -11,906/T + 5,08 (\pm 0,02)$  атм. Давл. пара  $In_2O$  определено по разности общего давл. и давл. In. Для р-ции  $MgIn_2O_4$ (тв.) + 4In(жидк.) =  $MgO$ (тв.) + 3 $In_2O$  (газ.)  $\lg P = -13,602/T + 7,62 (\pm 0,025)$  атм. С привлече-

(P)

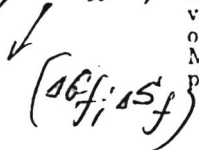
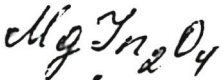
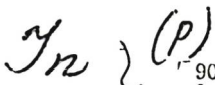
1978

29949, 11

нием лит. данных найдено для образования  $MgIn_2O_4$  из  $In_2O_3$ (тв.) и  $MgO$ (тв.)  $\Delta G^0 = -6190 + 0,6 T (\pm 500)$  кал. Для перехода в  $In_2O_3$ , связанного с изменением крист. структуры от типа С-окислов РЗЭ к структуре корунда, оценены  $\Delta S = -1,6 \pm 0,5$  э. с. и  $\Delta G^0 = -1000 + 1,6T (\pm 200)$  кал/моль.

В. В. Чепик

1978



90: 76846j Vapor pressure and thermodynamic properties of magnesium indium oxide. Valderrama, J.; Jacob, K. T. (Dep. Metall. Mater. Sci., Univ. Toronto, Toronto, Ont.). *J. Inorg. Nucl. Chem.* 1978, 40(6), 993-7 (Eng). The vapor pressure of pure In and the sum of the pressures of In and  $In_2O$ , identified by mass spectrometry, were measured in a zirconia crucible by the Knudsen effusion technique at 1095-1350 K. The vapor pressure of  $In_2O$  was calcd. from exptl. results. The std. free energy of formation of  $MgIn_2O_4$  is calcd. from the vapor pressures of In. The entropy of structure transformation of  $In_2O_3$  was detd. from the measured entropy of formation of  $MgIn_2O_4$  and a correlation for the entropy of formation of spinel phases from component oxides.

(+2)  $\otimes$



C.A. 1978, 90, N10

*y<sub>n</sub>*

1479

✓ 93: 193060w The enthalpy of fusion of indium: certification of a sample for use as a CRM. Andon, R. J. L.; Connell, J. E.; Martin, J. F. (Div. Chem. Stand., Natl. Phys. Lab., Teddington, Engl.). Report 1979, NPL-Chem-101, 14 pp. (Eng). Avail. NTIS. From Sci. Tech. Aerosp. Rep. 1980, 18(17), Abstr. No. N80-26422. The heats of fusion of 3 samples of In were measured by adiabatic calorimetry. One sample was

$(\Delta H_m)$

certified for use as a ref. material for thermal anal. The equipment and the exptl. technique are described. The results of the measurements are presented and discussed in the light of published work.

C.A. 1980. 93 n/20

In

1949

92: 65620w The enthalpy of fusion of indium; certification of a sample for use as a CRM. Andon, R. J. L.; Connell, J. E.; Martin, J. F. (Div. Chem. Stand., Natl. Phys. Lab., Teddington/Middlesex, Engl. TW11 0LW). *NPL Rep. Chem (U. K., Natl. Phys. Lab., Div. Chem. Stand.)* 1979, 101, 11 pp. (Eng). Heats of fusion of 3 samples of In were detd. by adiabatic calorimetry. One sample is certified for use as a ref. material for thermal anal. with heat of fusion of 3.252 kJ/mol; the m.p. of pure In at 1 atm. is 429.789 K.

( $T_m$ ;  $\Delta H_m$ )

C.A 1080. Q2, N8

1940

Fr

Banchilia S.N., et al.

Teplofit. Vys. Temp. 1949,  
17(3), 504-10.

(cp)

ass. 6a-1

In Position and Clicks 8/13/83  
all In I II apt.

InCl

InI<sub>3</sub>

InI

I<sub>2</sub>

192: 83494n Enthalpies of formation of indium(III) iodide and indium(I) iodide. Chusova, T. P.; Matskevich, N. I.; Stenin, Yu. G.; Kokovin, G. A. (Inst. Neorg. Khim., Novosibirsk, USSR). *Izv. Sib. Otd. Akad. Nauk SSSR, Ser. Khim. Nauk* 1979, (5), 62-6 (Russ). Heats of soln. of In, InI<sub>3</sub>, InI, and I<sub>2</sub> in Bu iodide with excess I<sub>2</sub> were measured calorimetrically at 25°. Std. heats of formation are -53.6 ± 0.2 and -24.6 ± 0.3 kcal/mol, for InI<sub>3</sub> and InI, resp. ~~10.2~~

(44) ~~8~~

(ΔH<sub>f</sub>; ΔH<sub>solt</sub>)



CA 1980 92 n10

9 Б707. Сертификатные материалы сравнения для калибровки приборов термического анализа. Connell J. E. Certified reference materials for the calibration of thermal analysis apparatus. «Journées calorim. et anal. therm., Marseille, 1979. Vol. 10». S. l., s. a., E1/1—E1/4 (англ.)

С целью упрощения и ускорения исследований материалов для прикладных целей, проводимых методом дифференциальной сканирующей калориметрии, намечена задача подбора хорошо охарактеризованных эталонных в-в. С этой целью в адиабатич. калориметре определены энталпии и т-ры плавления серии соединений с т. пл. в интервале 80—150°. Эти соединения выбраны из-за их термич. стабильности, отсутствия твердофазовых переходов вблизи плавления, низкого значения криоскопич. постоянной и легкости очистки. Полученные энталпии плавления и т-ры тройных точек составили: нафталин  $19,04 \pm 0,02$  кДж/моль и 353,38 К, бензил  $23,55 \pm 0,08$  и 368,02, ацетанилид  $21,65 \pm 0,02$  и 387,53, бензойная к-та  $18,06 \pm 0,04$  и 395,53, дифенилуксусная к-та  $31,27 \pm 0,04$  и 420,44, индий  $3,252 \pm 0,006$  и 429,78. Сообщается о намерении изучить серию в-в с т-рами фазовых переходов в области 300—600°.

А. Б. Кисилевский

In: Eichler A., Gey W. 1979

Rev. Sci. Instr.

$C_p < 208K$  1979, 50, N11, 1445-52

1979

In

In - Mn

In - Cr  
(concealed)

(Cp)

(+2) 14

E.A.1979.9.11b

91: 48540g Specific heat of superconducting films of indium and of indium alloyed with magnetic impurities. Gibson, B. C. (Dep. Phys., Univ. Illinois, Urbana, IL USA). Report 1978, COO-1198-1218, 135 pp. (Eng). Avail. NTIS. From Energy Res. Abstr. 1979, 4(6), Abstr. No. 14005. The discontinuity  $\Delta c$  in the sp. heat at the superconducting transition was measured for quench-condensed films of In-Mn, and In-Cr. Mn and Cr are 3d transition elements, and retain their magnetism when dissolved in In. This is the 1st investigation of this sort where 3d magnetic impurities were studied in a simple

metal superconductor. Magnetic impurities depress the superconducting transition temp.  $T_c$ , and predictions based on the Shiba theory for classical spins in superconductors indicate that  $\Delta_c$  is also depressed by the presence of magnetic impurities. It is useful to express the results in terms of  $\Delta_{c0}$  and  $T_{c0}$ , the values for the pure superconductor. The Shiba theory indicates that  $\Delta_c/\Delta_{c0}$  is depressed more rapidly than  $T_c/T$  is confirmed, as magnetic impurities are introduced into a superconductor. This prediction is confirmed, but there is an even greater depression of  $\alpha_c/\Delta_{c0}$  relative to  $T_c/T_{c0}$  than the Shiba theory predicts. Similar results have been obtained by previous workers who dissolved 3d magnetic impurities in transition metal superconductors. Also,  $\Delta_c$  for pure In increases with increasing disorder, where the degree of disorder is indicated by the residual resistivity of the sample. This result is to be expected qual. from Bergmann's studies of the transition temp. and energy gap width for disordered samples of In. However,  $\Delta_c$  increases roughly 10 times more rapidly with the degree of disorder than would be estd. from the results of Bergmann.

In

Lommel 8765-1

1979

(Tl., re)

Górecki T.

(P) Acta phys. polon., 1979,  
miesiąc A56 (4), 523 - 26

In

1979

91: 28292z Calorimeter for measuring stored energy in materials with low thermal conductivity. Vologin, V. G.; Kozlov, A. I.; Dubinin, S. F.; Chukalkin, Yu. T.; Goshchitskii, B. N.; Parkhomenko, V. D.; Petrov, V. V.; Sidorov, S. K. (Inst. Fiz. Met., Sverdlovsk, USSR). *Prib. Tekh. Eksp.* 1979, (1), 225-7 (Russ). A differential calorimeter with an automatic recording system is described. Heat evolved as low as 0.1 J/g can be measured at 300-1100 K. As illustration heat of fusion of In is given.

(C<sub>0</sub>)

C.R. 1979, 91, NY

Y<sub>12</sub>

1980

Andover R. J. L., Martin J. E.

Rept 1979, NPL-Chan -101,  
14 pp. Avail NTIS. From

Sci. Aerosp. Rep. 1980, 18 (17).  
Abstr. No N80-26422.



yr

1980

Думчак Я. І. та сп.

( $T_m$ ) Вісник Наук з науки  
піз, 1980, № 15, 3-6

Сер. 2, № 1

1980

In

93: 32617t Experimental test of the Wiedemann-Franz law for indium. Goldratt, E.; Greenfield, A. J. (Dep. Phys., Bar-Ilan Univ., Ramat-Gan, Israel). *J. Phys. F* 1980, 10(3), L95-L99 (Eng). The thermal cond. of In was measured at 283-480 K and the Wiedemann-Franz ratio was calcd. by dividing by known elec cond. values. The ratio is temp. independent for both the solid and liq. phases and continuous across the m.p. (429.6 K). The measured value of the Wiedemann-Franz ratio is 9% higher than the theor. Lorenz no.

(T<sub>m</sub>)

CA 1980 93 n4

1980

| 24 Б957. Количественный дифференциально-термический анализ при повышенных давлениях. Jain Prakash C., Chabey Deoaj. Quantitative differential thermal analysis at elevated pressures. «Therm. Anal. Proc. 6th Int. Conf., Bayreuth, 1980. Vol. 1», Basel e. a., 1980, 335—341 (англ.)

Предложена конструкция простой, но достаточно чувствительной аппаратуры для проведения колич. ДТА при давл. 6 кбар и т-рах до 600 К. Методика позволяет проводить измерения изменений энталпии в ходе фазового перехода непосредственно по площади пика. Аппаратура использована для определения т-рой зависимости т-ры плавления индия. Калибровку проводили по фазовым диаграммам  $KNO_3$  и  $NH_4NO_3$ . Рассчитана зависимость изменения энталпии при фазовом переходе от давления. Продемонстрировано хорошее согласие полученных р-ров с расчетами по PVT-диаграмме с использованием ур-ния Клаузиуса—Клапейрона.

И. Н. Бекман

X. 1981, 19, N 24.

1980

In

Katskoo D.A. et al.

Zh. Prikl. Spektrosk. 1980  
33(5), 804-12

( $\Delta H_0$ )



exp. Tc-I

In (mc) 1980

Dyson V. J. et al.

Elektron. Str. Fiz.-Khim.

Svoistva Tugoplavkikh

Soedlin. Splavov, Dokl.

Vses. Simp., 9th. 1979 (Pub.

1980). 52-55.

(cav. Li(mc); T).

In

1980

7 В1. Метод получения индия высокой чистоты.  
Медоев Б. С., Калоев Н. И., Алиханова А. П.  
«Изв. вузов. Химия и хим. технол.», 1980, 23, № 11,  
1339—1341

Исследована очистка индия через пиридиновый комплекс трихлорида индия. Показана эффективность метода для получения индия, свободного от примесей железа, олова и свинца. При этом изучена также кинетика восстановления  $In_2O_3$  в токе водорода при 500, 550, 600, 700, 800° С. Приведены кинетич. параметры восстановления: константы скорости и порядки р-ций для соотв-щих температур. Автореферат

метод  
полученія

Х. 1981 № 7

1980

In

✓ 94: 127528z Sealed-type indium triple point cell. Mitsui,  
Kiyoto (Natl. Res. Lab. Metrol., Ibaraki, Japan). Seramikkusu  
1980, 15(10), 836 (Japan). The reproducibility of the triple  
point of In ( $156.63^\circ$ ) in a sealed-type cell was better than  
 $\pm 0.001^\circ$ . A. Inaba

( $T_{P.m}$ )

C.A.1981.24N16

$\gamma_n$   
 $(\Delta H_m)$

1980

Zeeb K. G., et al

Thermochim. acta, 1980,  
40, no. 245-249.

●  $(\text{cm } \text{NaNO}_3)$   $\frac{I}{\cancel{\text{II}}}$

of  
n

1981

Cp;

96: 41912z Specific heat measurements on indium under high pressure. Eichler, Andreas; Cieslik, Joachim; Gey, Wolfgang (Inst. Tech. Phys., Tech. Univ., D-3300 Braunschweig, Fed. Rep. Ger.). *Physica B+C (Amsterdam)* 1981, 108(1-3), 1005-6 (Eng). By adaptation of a piston-cylinder high-pressure cell to the thermal requirements of an a.c.-calorimeter it was possible to measure the low-temp. sp. heat of In under pressures of 10 kbar. The exptl. results are discussed and compared to model predictions.

c. A. 1982, 96, n 6

Lommel 13223

1981

Yn

Eichler A., Cieslik J., Fey W.

Cp;

Proceedings of the 16th International Conference on low Temperature Physics, Los Angeles, 19-25 Aug., 1981. Part 2. Contributed Papers. "Physica", 1981, LC  
108, N1-3, 1005-1006.

In

1981

Pandey R. P., et al.

Chem. Scr. 1981, 18(2)

( $P_{\text{inj}}$ ,  $T = T_{\text{inj}}$ )

65- 66.

(ac. Zn; I).

In

1981.

Rieckert G., et al.

(5H<sub>7</sub>)

Z. Metallk., 1981, 72,  
406 - 411.

(crys. BiIn; III)

Yn

Lomnicka 12526 ] 1981.

Van der Ven A. A.; et al

Kallitropisca

Kallitropisca

et seqq. b.-bo,

op. C.; Tm.

Thermochim. acta,

1981, 49, 151-161.

Klaesner In

1982

198: 60779u Phase transition of 8-atom indium clusters into an ordered ensemble (temperature and heat of fusion). Alekseev, Yu. A.; Bogomolov, V. N.; Egorov, V. A.; Petranovskii, V. P.; Kholodkevich, S. V. (Fiz.-Tekh. Inst. im. Ioffe, Leningrad, USSR). *Pisma Zh. Eksp. Teor. Fiz.* 1982, 36(11), 384-6 (Russ). By measuring the heat capacity, a phase transition was obsd. near 235 K of an 8-atom cluster of In in NaA zeolite, corresponding to melting of In particles. The heat of fusion under this condition was  $0.055 \pm 0.005$  cal/gm, while for solid In, this value is 6.8 cal/gm.

In H, Tm

C.A. 1983, 98, N8.

In

1982

24 Б3035. Измерения энталпии методами ДСК и  
ДТА. Enthalpy determination by DSC and DTA. Маг-  
ти Е., Heiber O., Geoffroy A. «Therm. Anal. Proc.  
7th Int. Conf., Ontario, 1982. Vol. 2». Chichester e. a.,  
1982, 904—908 (англ.)

ΔHm;

Систематизированы лит. и собственные данные по эн-  
талпии плавления In, являющегося станд. в-вом в  
ДСК и ДТА. Рекомендована  $\Delta H$  (пл. In) =  $3303 \pm$   
 $\pm 10$  Дж/моль по 17 работам, в том числе и по не-  
прямым методам. Калибровка ДСК может проводиться  
по  $\Delta H$  (пл.) п-ксилена,  $\Delta H = 17\ 016 \pm 42$  Дж/моль.  
Библ. 18.

Л. А. Резницкий

X. 1984, 19, N 24

In Umnick 14023 1982

Okoshi J, Yokoyama  
et al. J,

S, G,  
parium

Physica, 1982, BC 113,  
N2, ● 195 - 199.

In

1982

Ostrovs'kii O. I., Starogu-  
kovich V. N., et al.

Gp<sup>o</sup>:

Izv. Vyssh. Uchebn. Za-  
ved., Chern. Metall. 1982,  
(12), 136-7.

(Caer. Li (porous); ?)

In(k, u) Pan Kratz L. B. 1982

Thermodynamic Properties  
of Elements and Oxides  
(298 - 2000)  
USA Bur. Mines Bull. 672.

(yelleqgegeho)

1982

798: 81663s Positron lifetime measurements in indium. Puff, Werner; Mascher, Peter; Kindl, Peter; Sormann, Heinrich (Inst. Kernphys., Tech. Univ. Graz, A-8010 Graz, Austria). *Positron Annihilation, Proc. Int. Conf., 6th 1982*, 221-3 (Eng). Edited by Coleman, Paul G.; Sharma, Suresh C.; Diana, Leonard M. North-Holland: Amsterdam, Neth. The positron lifetime was detd. for polycryst. In at 80-420 K. There is a pronounced prevacancy effect which is well approximated by a straight line. The vacancy formation energy is  $0.43 \pm 0.01$  eV.

Недавно  
обратил  
внимание

C. A. 1983, 98, N10.

1982

1 E506. Определение тройной точки индия в за-  
паянной стеклянной ячейке. Realization of the triple  
point of indium in sealed glass cell. Sawada Shi-  
gaki. «Кэйсоку дзидо сэйгё гаккай ромбунсю,  
Trans. Soc. Instrum. and Contr. Eng.», 1982, 18, № 4,  
385—389 (яп.; рез. англ.).

Тройная точка In, определенная по кривым плавле-  
ния и затвердевания трех образцов чистого In, полу-  
ченных из разных источников, весом около 700 г. со-  
ставляет  $156,6296^{\circ}\text{C} \pm 0,0003^{\circ}\text{C}$ . Переохлаждение при  
затвердевании не превышало  $1^{\circ}\text{C}$ .

E. Z. C.

φ. 1983, 18, N1

9/2

1983

(Tm)

99: 182581q Heat transfer in a disk-type DSC apparatus. III. Theoretical and experimental correction of the calorimetric signal in scanning mode. Claudy, P.; Commercon, J. C.; Letoffe, J. M. (Lab. Thermochim. Miner., Inst. Natl. Sci. Appl. Lyon, 69621 Villeurbanne, Fr.). *Thermochim. Acta* 1983, 68(2-3), 317-27 (Eng). A math. treatment of the calorimetric signal for a disk-type differential scanning calorimetry, DSC, app. is given. The method relies upon an elec. representation of the DSC instrument. Several applications are given: melting of high purity and less pure In with detn. of purity and detn. of the thermal gradient in the crucible.

C.A.1983, 99, N22

Jn

1983

Du Tingfa.

$\Delta_m H_i$

Huaxue Tongbao 1983,  
(10), 51-53.

● (cev. Pb; I)

In

1983

4 Б3054. Фазовая диаграмма [системы] In—Sn. The In—Sn phase diagram. Evans D. S., Prince A. «Alloy Phase Diagrams. Symp., Boston, Mass. Nov. 1982». New York e. a., 1983, 389—394 (англ.)

С помощью ДТА, металлографич. измерений и рентгенографии изучены фазовые соотношения в системе In—Sn. Представлена фазовая диаграмма системы, к-рая хорошо согласуется с лит. данными. Т. пл. чистых In и Sn равны 156,4 и 231,9°С соотв. Промежут. фазы  $\beta$  и  $\gamma$  образуются по перитектич. р-циям при 141,0 и 222,6°С соотв. Они образуют эвтектику при 47,4 ат.% Sn и 119°С. Основные отличия от лит. данных: 1) меньший промежуток между ликвидусом и солидусом в обл., богатой индием (от 0 до 3°С); 2) постоянная кривизна  $\gamma$ -солидуса без перегиба; 3) отсутствие остановок в  $\gamma$ - и  $\gamma+Sn$ -областиах. Л. Г. Титов

III;

(1)  $\beta$

Х. 1987, 19, N 4



Sn

In

1983

Grimes S.M.

Arres. Repts. Progr.

(odgop) Chem., 1983, A 80, Arres.  
Repts, 61-76.

(cav. Al; ~~AK~~)<sup>T</sup>

9/2

1983

100: 41955s Model of oscillating interface at first-order phase transition and at glass transition - nonvanishing amplitude approximation. Korpiun, P.; Tilgner, R.; Schmidt, D. (Phys. Dep., Tech. Univ. Muenchen, D-8046 Garching, Fed. Rep. Ger.). *J. Phys., Colloq.* 1983, (C6), 43-53 (Eng). A theor. model for the photoacoustic amplitude and phase angle at a 1st-order phase transition was generalized to arbitrary thermal thickness of the sample. It can be applied to 2nd-order phase transitions, also. Detns. at the m.p. of In and in the glass transition region of polystyrene confirm the model.

( $T_m$ ,  $T_{tr}$ )

c.A. 1984, 100, N 6

In 41520 (Jm. 18179)

1983

99: 219838g Determination of the enthalpy of fusion of indium by direct comparison with Joule heats. Schoenborn, K. H.; Hemminger, W.; Reichelt, J. (Inst. Werkstoffe, Braunschweig Tech. Univ., Braunschweig, Fed. Rep. Ger.). *Thermochim. Acta* 1983, 69(1-2), 127-36 (Eng). A simple calibration device for a com. heat flux calorimeter is presented, which allows heats of fusion to be detd. very precisely. The heats of fusion are compared to Joule heats, which can be measured with high accuracy. The basic principle of the device is that during measurements and calibration the exptl. arrangement should be as similar as possible. It is of utmost importance that the heat to be measured is conveyed to the calorimeter always at the same point. The device was tested by measuring the heat of fusion of In. The results agree with F. Groenvold's results (1978), who used an adiabatic calorimeter with pulse heating.

(Tm)

c.A.1983, 99, n26

*Х* 41520 [Дн. 18179] 1983

8 Б3036. Определение энталпии плавления индия  
прямым сравнением с джоулем теплом. Determination of the enthalpy of fusion of indium by direct comparison with Joule heats. Schönbohm K. H., Hemminger W., Reichelt J. «Thermochim. acta», 1983, 69, № 1—2: Develop. Calorimetry. Select. Pap. 5. Conf., Ulm, 21—22 March, 1983, 1127—136 (англ.).

*Дан;*  
Энталпия плавления In (I), применяемого в кач-ве стандарта в калибровке калориметров теплового потока, определена с использованием электрич. нагревателя, вмонтированного в ячейку калориметра — термоанализатора МСВ. Условия калибровки: скорость нагревания 0,1 К/мин, масса I около 45 мг. Калибровка проводилась в окрестности  $\pm 5$  К от т. пл. I. Характеристики пиков — высота и площадь — подбира-

*Х. 1984, 19, N 8*

лись близкими. Погрешность в определении тепла, вносимого нагревателем, около 0,3%. По данным 3 опытов,  $\Delta H_{пл} = 3289 \pm 9$  Дж/моль ( $\pm 0,3\%$ ), что хорошо совпадает с данными Грюнвальда, полученными методом адиабатич. калориметрии с периодич. вводом тепла, где  $\Delta H_{пл} = 3283 \pm 7$  Дж/моль.

Л. А. Резницкий

$\gamma_{\text{In(Au)}}$

1984

( $C_p$ )

/ 101: 199103t Heat capacity of liquid gold-indium alloys. Mikler, Johann; Janitsch, Alfred; Komarek, Kurt L. (Inst. Inorg. Chem., Univ. Vienna, A-1090 Vienna, Austria). Z. Metallkd. 1984, 75(9), 719-23 (Eng). Heat capacities of liq. Au-In alloys and of pure liq. In were detd. by differential scanning calorimetry between the liquidus temp. and 920 K. The heat capacities decrease with increasing temp. and heat capacity isotherms show a max. at ~50 at.% In and a min. at ~45 at.% In. The relative heat capacity isotherms exhibit a pos. deviation from the Neumann-Kopp rule decreasing with increasing temp.



C.A. 1984, 101, N 22

In

1984

непроявлен.  
стеклоком.

Perepezzo J. H.,  
Paik J. S.

(Gp)

J. Non-Cryst. Solids  
1984, 61-62 (1), 113-18.

(см. Mg ; 1)

1984

102: 192340o Critical analysis and optimization of the thermodynamic properties and phase diagrams of the III-V compounds. II. The gallium-arsenic and indium-arsenic systems. Tmar, Mohamed; Gabriel, Armand; Chatillon, Christian; Ansara, Ibrahim (Lab. Thermodyn. Phys.-Chem. Metall., ENSEEG, F-38402 Saint Martin d'Hères, Fr.). *J. Cryst. Growth* 1984, 69(2-3), 421-41 (Eng). A crit. assessment of thermodn. and phase diagram data for the Ga-As and In-As systems was performed. The best self-consistent values are listed. Optimized partial pressures of In, Ga, As<sub>2</sub>, As<sub>4</sub>, InAs and GaAs mols. and phase diagrams were obtained.

(P)

⑦5 ~~17~~

C.A. 1985, 102, N 22

JH

1985

102: 191651v Melting curves and heat of fusion of indium.  
Anesin, J. (Div. Phys., Natl. Res. Counc. Canada, Ottawa, ON Can.  
K1A 0R6). *Metrologia* 1985, 21(1), 7-9 (Eng). Melting curves of  
In samples of 99.9999%, 99.999%, and 99.99% purity were obtained  
adiabatically. For the purest sample, the liquidus point temp. at the  
triple point pressure is  $156.6298^\circ$ , and the latent heat of fusion is  
28.53 J/g, with std. deviations of  $\pm 0.4$  mK and  $\pm 0.02$  J/g resp.

Sm H, xpubl  
recabnreill

C.A. 1985, 102, N22

9h

1985.

Callanan J.E., Sullivan  
S.A.

T<sub>tz</sub>, ΔH<sub>tz</sub>

Bulletin of Chem.  
Thermodyn., 1985,  
28, p. 228.

In

(M. 21863)

1985

103: 76500d Attenuation of sound in Indium at melting point.  
Kamioka, Hiroaki; Sumino, Yoshio (Fac. Eng., Gifu Univ., Gifu,  
Japan 501-11). *J. Phys. Soc. Jpn.* 1985, 54(6), 2190-3 (Eng).  
The temp. variation of ultrasound (1 MHz) attenuation in In was  
measured by the pulse-transmission method from 120 to 183°  
through the m.p. of 156.4°. The value of attenuation in solid phase  
just below the m.p. was 0.154 neper/cm, and that in liq. phase just  
above the m.p. was 0.123 nepr/cm. At the m.p., a large ultrasonic  
absorption was seen; its value amounted to 0.273 nepr/cm in the  
melting process, and 0.539 neper/cm in the solidification process.  
The increase of the attenuation at the m.p. might be due to Rayleigh  
scattering, which is appreciable in the mixed state of the liq. and  
suspended crystallites.

(T<sub>m</sub>)

C.A. 1985, 103, N 10.

1985

IN

103: 110269x Estimation of the ionization degree of indium in an acetylene-air flame. Kozyreva, G. V.; Khlystova, A. D.; Kuzyakov, Yu. Ya. (Mosk. Gos. Univ., Moscow, USSR). *Vestn. Mosk. Univ., Ser. 2: Khim.* 1985, 26(3), 326-7 (Russ). The contribution of ionization in atomization during In detn. in acetylene-air flame was estd. The partial pressure, ionization const., and degree of ionization,  $\alpha$ , of In were detd. as a function of flame temp. (1700~2500 K). At  $T = 2200\text{--}2500$  K,  $\alpha = 0.1\text{--}1\%$ . For lower-temp. flames, the contribution of ionization to the at. absorption signal can be ignored. Addn. of inorg. acids to the soln. contg. In increases  $\alpha$  during In detn. in acetylene-air flame by at. absorption.

(P, CetH<sub>2</sub>-bozg.  
relaxue)

C.A. 1985, 103, N 14.

Zr(6 Ge)( $\kappa$ )

1985

Su Ching-Hua,  
Breibick R. F.

repreog.

Cb-Ba

J. Phys. and Chem.  
Solids, 1985, 46, N8,  
963 - 976.

(cer. Zr(6 Ge)( $\kappa$ ); ?)

In

41991

1985

T<sub>m</sub>,  
 $\Delta H_m$

Takahashi Y.

Thermochim. Acta, 1985, 88, p. 199-204

(DSC с конфигурацией ст. материалов)

In

1986

Allen F.L., Bayles R.A.,  
et al.

T<sub>m</sub>,

Thin Solid Films

1986, 144 (2), 297-308.

(cii. Pb; I)

In

1986

Hellwege K.-H.,  
Hellwege A. M.

Красивые-

стеклуктурн.

газовые

Berlin e.a.: Sprin-  
ger, 1986. XXVI,  
216 S., ill.

(см. Si; i)

92

(Om. 24291)

1986

Кацков Д.А., Конеевский  
В.П.,

ДЗН

Из. Изд-во. Среднеуральск  
1986, 44, №, 922-929.

3/2

1986

22 В6 К. Химия одновалентного индия. Смирнов В. А.; Дмитриев В. С., Редькин А. Н. М.: Наука, 1986. 149 с., ил.

В монографии обобщены результаты эксперим. исследований по синтезу и св-вам соединений индия(1+). Подробно рассмотрены закономерности диспропорционирования индия(1+) в различных эксперим. условиях. Описаны методы получения водн. р-ров соединений индия(1+) и физ.-хим. св-ва таких р-ров. Показано практическое значение химии индия(1+). Резюме

X. 1986, 19, N 22

In (al)

(P, SrH)

1987

(M. 28035)

108: 227247h Vapor pressure and thermodynamics of indium determined by the Knudsen effusion method. Botor, Jan; Zajaczkowski, Andrzej. (Dep. Fundam. Metall. Processes, Inst. Nonferrous Met.; 44-100 Gliwice, Pol.). *Bull. Pol. Acad. Sci.: Tech. Sci.*, 1987, 35(7-8), 453-9 (Eng). Vapor pressure over liq. In was measured at 1096-1390 K by the mass loss rate method. The vapor pressure equation is given. The third-law or thermodyn. was applied to get the enthalpy of In at 298 K of  $242.5 \pm 0.8$  kJ/g-atom.

c.A.1988, 108, n26

9n (ac)

1987

(P)

107: 162265v The vapor pressure of indium, silver, gallium, copper, tin, and gold between 0.1 and 3.0 bar. Geiger, F.; Busse, C. A.; Loehrke, R. I. (Ispra Establ., Jt. Res. Cent., 21020 Ispra, Italy). *Int. J. Thermophys.* 1987, 8(4), 425-36 (Eng). The vapor pressure of several liq. metals was measured using a method based on the gas-controlled heat pipe. Small samples of the test material were placed in a tungsten tube and heated to temps. above 2900 K. The vapor pressure was measured using a gas-buffered pressure transducer and the vapor temp. was inferred from the tube surface temp., which was measured with an optical pyrometer. Most of the tests were terminated by the failure of the containment tube. The measured pressures agree well with those calcd. by thermodyn. methods from data at lower temps.

(+) Ag, Ga, Cu, In, Au (ac)

C.A. 1987, 107, n18

*g<sub>n</sub>* [Om. 27014] 1987

Beiger F., Busse C.A.,  
et al.,

p) Int. J. Thermophys.,  
1987, 8, NY, 425-436.

Jn. 1987

Jin, Guangxing; Zhang, Longzhe.

Herb. Diwen Wuli Xuebao 1987,  
Tenu. 9(2), 148-53.

(Cer. V; I )

In

1987

Lin Peng, Zhang Qing-geng, et al.

$T_{tr}$ ,

Diwen WuLi XueBao  
1987, 9(2), 139-43.

(Ccl. N6; I)

Индей , Свойства

1987  
18

Яценко, Сергей Павлович.

Индий : Свойства и применение / Отв. ред. Д. И. Курбатов; АН СССР, Урал. науч. центр, Ин-т химии. — М. : Наука, 1987. — 255, [1] с. : ил.; 23 см.

Библиогр. в конце глав.

(В пер.) : З р. 30 к., 950 экз.

— — 1. Индий.

УДК 546.682 + 669.872

№21460 ЕКЛ 17.4 + 26.5

18 №156 [87-35829] п о ф

ВКП 15.06.87 Я927

я 1805000000-080/042(02)-87 163-87-II

1988

In Девятых Г.Г., Гусев А.В. и др.

Мизкомиспературная гене-  
зисность высокочастных эле-  
ментов II-V групп переход-  
ческой системы.

(Cp, 2-15к) XII Всесоюзной конференции  
по химической инженерии-  
микро и  конструированию.

шілдің мемлекеттік сабактар.

Астана, әмп. 3, 4, 1988.

of  
In

1988

(Pm)

109: 116484j Melting temperature of indium particles embedded in an aluminum matrix. Saka, H.; Nishikawa, Y.; Imura, T. (Fac. Eng., Nagoya Univ., Nagoya, Japan 464). *Philos. Mag. A* 1988, 57(6), 895-906 (Eng). The melting and freezing temps. of small In particles with a radius  $r$  of less than 20 nm embedded in an Al matrix have been measured as a function of particle size using in situ heating in an electron microscope. The melting temp. of In particles whose radii are smaller than 15 nm is higher than that of bulk material and increases with decreasing  $r$ . The freezing temp. is lower than the melting temp. of bulk material for all radii studied and has a min. at around  $r = 13$  nm. The behavior of the melting of embedded particles contrasts sharply with that of free particles, for which the melting temp. decreases with decreasing  $r$ . The difference is discussed in terms of the interfacial energies between the Al matrix and liq. or solid In.

C.A. 1988, 109, n14

of  
7/12

1989

15 Б3007. Интерпретация кривых ДСК процесса плавления индия и определение термического сопротивления  $R$ , термической постоянной времени  $RC_s$ , и наименьшего разделения по температуре  $L$ . Interpretation of DSC curves of the indium melting process and determination of the thermal resistance  $R$ , thermal time constant  $RC_s$ , and least separation temperature  $L$  / Bo-  
ling Yu., Jizodong Jiang // Thermochim. acta.— 1989.—  
137, № 2.— С. 307—317.— Англ.

Проведен анализ кривых ДСК процесса плавления In, полученных на 5 различных калориметрич. установках. Все кривые оказались аналогичными друг другу. Начальная часть кривой плавления индия представляет собой прямую линию, из ур-ния к-рой м. б. выведено термич. сопротивление калориметра  $R$ . Точка, соотв-щая концу плавления, расположена на пике кривой ДСК. После пика наблюдалось экспоненц. понижение кривой ДСК, из к-рого м. б. получена термич. постоянная времени калориметра  $RC_s$ . Определена величина раз-

(7/11)

X. 1989, N 15

решения по т-ре  $L$ , т. е. величина наименьшего интервала т-ры, разделяющего два соседних пика на кривой ДСК примерно одинаковой высоты, причем высота впадины между пиками может достигать 50% полной высоты пика. Исследовано влияние  $R$  и  $RC$ , на форму кривых ДСК и ДТА. Величина  $R$  не влияет на площадь пика, но влияет на его форму. Чем меньше  $R$ , тем уже и круче пик и тем лучше разрешение кривой ДСК по т-ре. Величина  $L$  пропорциональна скорости нагрева, и уменьшение скорости нагрева повышает разрешение кривой ДСК по температуре. В. Ф. Байбуз

месе  
тичи'

In Devyatyrh F.G.,  
Busev A.V. et al.  
1989

( $\rho$  ( $T=2-15K$ ) Vysokochist. Vesh-  
chestva 1989, (3),  
37-41.

(cii. Al; I)

In

1989

Hemmerger Wolfgang,  
Raetz Karlheinz.

( $A_m H$ )

PTB - Mitt. 1989, 99 (2),  
83-8.

(cer. Sn; ?)

In

1989

111:241397m Thermal conductivity of pure indium at low temperatures. Neminskii, A. M.; Mezhov-Deglin, L. P. (Inst. Fiz. Tverd. Tela, Chernogolovka, USSR). *Fiz. Nizk. Temp.* (Kiev) 1989, 15(6), 654-6 (Russ). The thermal cond. of pure indium was measured at 3.5-25 K. The obsd. complicated temp. dependence of electron-phonon resistivity is explained by electron-phonon scattering between different levels of the Fermi surface.

(меняется -  
заголовок)

c.A.1989, 111, N 26

Yn

Ditmars D.A.,

1990

DSC Calibration Standards  
by an absolute calorimet-  
ric method:  $\Delta_{\text{H}}^{\text{m}}$  and  $T_{\text{fus}}$   
of Yn and Al.

(T<sub>m</sub>, ΔH<sub>m</sub>)

11th IUPAC Conference On  
Chemical Thermodynamics, Como,

537

Italy - August 26-31, 1990, p. 537

g<sub>n</sub>

[Om. 34816]

1990

Jin Y., Wunderlich B.,

J. Therm. Anal., 1990,  
36, N2, 765-789.

(G)

3/к (м)

1990

22 Б3023. Применение термовесов для определения давления пара и термодинамических свойств. The application of a thermobalance for determining the vapour pressure and thermodynamic properties: [Pap.] 5th Pol. Semin. «Therm. Anal. Mem. St. Bretsznajder», Plock, Sept. 19—21, 1989 / Konieczny J., Botor J. // J. Therm. Anal.— 1990.— 36, № 6.— С. 2015—2019.— Венг.; рез. нем.

Приведены примеры использования термовесов для определения давл. пара и высокот-рных термодинамич. с-в чистых металлов, их жидк. р-ров и смесей расплавленных сульфидов. Общее давл. пара определялось по скорости испарения в энфузационной ячейке Кнудсена. В сочетании с масс-спектрометром определялись парц. давл. компонентов. Представлены обобщенные данные для испарения In(l) в интервале т-р 1006—1390 К:  $\lg(P/\text{Па}) = -12830/T + 10,706$ ,  $\Delta_{\text{subl}} H^0_{298} = 253,1 \pm 1,2$  и  $242,5 \pm 0,8$  кДж/моль по 2-му и 3-му за-

(4.2)

X.1991, N 22

Fe-As, PbS

конам. Результаты изучения системы Fe—As в обл. т-р 1100—1400 К и составов 22,58—35,89 мол. % As, а также в обл. <12 мол. % As и 1620—2010 К аппроксимированы уравнением  $\ln \gamma_{\text{As}} = X_{\text{Fe}}^2 \{b_0 + \sum_{i=1}^n b_i (X_{\text{Fe}} - X_{\text{As}})^{(i-1)} [X_{\text{Fe}} - (2i-1)X_{\text{As}}]\}$ , где  $i = 2$ ,  $b_0 = -2,348 - 6036/T$ ,  $b_1 = 11,233 - 21771/T$ ,  $b_2 = -11,422 + 23,423/T$ . Испарение PbS (I) изучено в интервале 796—1926 К. Равновесный пар содержит I, Pb, S<sub>2</sub> и Pb<sub>2</sub>S<sub>2</sub>. Станд. энтальпия сублимации I по 3-му закону составила 232,4 ± 0,1 кДж/моль. Изотермич. измерения испарения I из расплавов с Cu<sub>2</sub>S, содержащих 80 мол. % I в обл. 1040—1103 К дали  $\ln \gamma_t = (1-X)^2 [-2,7 - 391/T + (0,18 + 1285/T)(4X-1) - (5,4 - 7149/T)(1-2X)(6X-1)]$ .

А. С. Гузей



In 1990  
Makarev B.B., Decukha E.I.  
II gr.

Прил. II прил.-ХИ. Сбор-  
менное симба ием. II спасов.  
раселение - Свердл. 200. Reg. УИ-и.  
Леса  
Свердловск, 1990. с. 106 -  
113.

(Cult. fl; I)

Химия и химия

1990

(обзор)

6 В17. Изучение химии соединений одно- и двухвалентного индия Studies of the chemistry of indium(I) and (II) compounds / Tuck Dennis G. // Can. Chem. News.— 1990.— 42, № 8.— С. 25—27.— Англ. Место хранения ГПНТБ СССР  
Обзор работ автора по изучению соед. In(1+) и In(2+). Библ. 3.

ж. 1991, № 6

1991

In

Kazakov V.V., Dorozhkov I.N.  
et al.

P, S, Tm, Te,  
SnH, SrH - Dokl. Akad. Nauk  
P-III H ss3R. 1991, 320 (6),  
amon. konsep, 1400-4.  
reoth,  
macce, aom.  
papuysa  
(all. B; I)

of  
In

1991

5/29/91

(2300 - 7000 K)

117-179365g Determination of thermophysical properties of lithium in the range 2300-7000 K by a submicrosecond pulse-heating method. Pottlacher, Gernot; Neger, Theodor; Jaeger, Helmut (Inst. Phys., Tech. Univ. Graz, A-8010 Graz, Austria). *High Temp. - High Pressures* 1991, 23(1), 43-8 (Eng). The heat capacity and the dependence between the enthalpy, elec. resistivity, temp. and vol. of  $\beta$  were detd. Crit. consts. were also detd.

( $\ell_p$ )

C.A. 1992, 117, N18

3n

1991

7 Б3022. Определение характеристических температур методом сканирующей калориметрии. Determination of characteristic temperatures with the scanning calorimeter / Sarge Stefan M. // Thermochim. acta.— 1991.— 187.— С. 323—334.— Англ.

Предложен метод обработки термограмм ДСК в области фазовых превращений, позволяющий уточнить  $T_{trs}$  с учетом отклонения базовой линии, вследствие изменения теплофиз. св-в образца. Метод сводится к графич. экстраполяции ветвей пика ДСК и может быть применен к последовательно протекающим экзо- и эндотермич. процессам. Применение метода уменьшает разброс эксперим. определений  $T_{fus}$  In различной массы с 109 до 18 мК. Использование предложенного метода приводит к  $T_{fus}=156,307^{\circ}\text{C}$ . Л. А. Резницкий

(T<sub>m</sub>)

Х. 1992, № 7.

Ж

1991

6 В1. Проблемы и перспективы технологии получения индия высокой чистоты / Смирнов В. А. // Высокочист. вещества.— 1991.— № 6.— С. 7—21.— Рус.; рез. англ.

Представлен крит. обзор проблемы индия высокой чистоты, охватывающей все основные стадии процесса его получения. Библ. 48.

Х. 1992, №6.

1991

11 Б3018. Давления пара и стандартные энталпии сублимации индия, галлия и свинца. The vapour pressure and standard enthalpy of the indium, gallium and lead sublimation / Zajaczkowski A., Botor J. // Bull. Electrochem.— 1991.— 7, № 8.— С. 378—383.— Англ.

Эффузионным методом Кнудсена определены давл. пара In, Ga и Pb в т-рных интервалах 1050—1465 K, 1239—1497 K и 907—1132 K соотв. Результаты аппроксимированы ур-ниями вида  $\lg P(\text{Па}) = A - B \cdot 10^3/T$ , коэф. к-рых A и B составили: In  $10,24 \pm 0,048$  и  $12,18 \pm 0,055$ ; Ga  $10,58 \pm 0,031$  и  $13,99 \pm 0,042$ ; Pb  $9,92 \pm 0,066$  и  $9,62 \pm 0,064$ . Станд. энталпии сублимации вычислены по 2-му (сигма-метод) и по 3-му законам. Предпочтение отдано последнему методу, к-рый менее чувствителен к возможным погрешностям в измерении т-р. Рекомендованы значения  $\Delta_{\text{sub}}H^\circ(298,15 \text{ K})$ , равные  $241,1 \pm 0,30$  кДж/моль In,  $276,5 \pm 0,15$  кДж/моль Ga и  $195,4 \pm 0,16$  кДж/моль Pb.

А. С. Гузей

(P, ΔH<sub>3</sub>)

t<sub>2</sub> 18

X.1992, N 11

In, Pb

In (al)

1991

116: 92579k The vapor pressure and standard enthalpy of the indium, gallium and lead sublimation. Zajaczkowski, A.; Botor, J. (Inst. Nonferrous Met., 44-101 Gliwice, Pol.). *Bull. Electrochem.* 1991, 7(8), 378-83 (Eng). The vapor pressures over liq. In, Ga and Pb were detd. at high temp. ranges by using the Knudsen effusion method. The std. heats of sublimation were calcd.

(P,  $\Delta_{\text{f}}H$ )

ba, Pb (al)

(72)



C. A. 1992, 116, N 10

In (eeesai) Badirkhan <sup>y</sup> 1992  
Akinlade O., et al.

(AfG) J. Phys.: Condens. Matter  
meap. 1992, V (29), 6173-88.  
paerenz

(Ccl.  Ilg (eeemal); I)

Ch

1992

118: 155623j Realization of the freezing point of indium.  
Ivanova, A. G.; Pokhodun, A. I. (D. I. Mendeleyev Inst. Metrol., St. Petersburg, Russia). *Temp.: Its Meas. Control Sci. Ind.* 1992, 6(Pt. 1), 323-6 (Eng). To assess the unambiguity of realization of the indium freezing fixed point the authors studied the effects of outside and inside induced nucleation, the temps. of liq. metal superheating and subsequent supercooling on the process and temp. of indium freezing. It was found that the crystn. temp. variation with different procedures attains 2 mK. A unified method is proposed for realization of melting and freezing fixed points of substances.

(IP  
freezing)

C.A.1993, 118, N16

In

1992

Kaschnitz E.,  
Pottlacher G.

(Cp, H-H) Teubner - Texte Phys.  
1992, 26, 139-44.



(eeu. C; I)

1992

3/2

7 Б3190. Индуцированный давлением структурный фазовый переход индия. Pressure-induced structural phase transition of indium /Takemura K., Shimomura O., Fujihisa H. //Photon Fact. Activ. Rept, 1991. Vol. 9.—Tsukuba, 1992.—С. 97.—Англ.

В ячейке высокого давл. с алмазными наковальнями в диапазоне давл. до 100 ГПа методом порошковой рентгенографии с угловой дисперсией исследовано фазовое поведение металлич. In, обладающего при атм. давл. гранецентрир. тетрагон. структурой. При давл.  $93 \pm 5$  ГПа рентгеновский спектр интерпретируется как гранецентрир( ромбич. структура (искаженная тетрагон. структура) ( $a = 3,771$ ,  $b = 3,841$ ,  $c = 4,142$  Å). Расхождение между положениями наблюдаемых и вычисленных пиков не превышает 0,1%. Модель перехода включает пластич. деформацию,



X. 1993, N 7

при к-рой атомы в плоскости (111) двигаются в направлении  $(01\bar{1})$ . Оцененное изменение объема при превращении близко к нулю, что свидетельствует о переходе 2-го рода. Превращение полностью обратимо по давлению.

В. А. Ступников

Zr

1993

Dharwakdar S. R.,  
Samant M. S. et al.

( $\Delta_m H$ ) Proc. Natl. Symp. Therm.  
Anal., 9th 1993, 557-9.

Mernog  
(cu. usupericus Zr ; i)

9  
Sn

1993

14 Б3022. Энталпия плавления и температура плавления и повторное определение энталпии плавления олова. Enthalpy of fusion and temperature of fusion of indium, and redetermination of the enthalpy of fusion of tin /Gronvold Fredrik //J. Chem. Thermodyn .—1993 .—25 ,№ 9 .—С. 1133—1144 .—Англ.

В адиабатическом калориметре с электрически нагреваемыми экранами проведены точные измерения т-ры плавления и энталпии плавления индия высокой чистоты и повторное определение энталпии плавления олова. Найдено, что для индия  $\Delta_{fus}H = 3269 \pm 9$  Дж•моль<sup>-1</sup> и  $T_m = 429,753 \pm 0,02$  К и для олова  $\Delta_{fus}H = 7179 \pm 15$  Дж•моль<sup>-1</sup>. Полученные результаты сравнены с данными др. авторов.

В. Ф. Байбуз

$T_m, \Delta H_m$

Sn

X. 1994, N14.

1993

120: 16773m Enthalpy of fusion and temperature of fusion of indium, and redetermination of the enthalpy of fusion of tin. Groenvold, Fredrik (Dep. Chem., Univ. Oslo, 0315 Oslo, Norway). *J. Chem. Thermodyn.* 1993, 25(9), 1133-44 (Eng). The molar enthalpy and temp. of fusion of a very pure sample of indium were detd. by adiabatic-shield calorimetry for the Lab. of the Government Chemist, U.K. with the result:  $\Delta_{fus}H_m = (3296 \pm 9)$  J/mol. Fractional-enthalpy-of-fusion detns. over the region (13.4 to 88.0) % molten In are consistent with a mole fraction of (solid-insol. but liq.-sol.) impurity of about  $2 \cdot 10^{-7}$  and  $T_f = (429.753 \pm 0.02)$  K. The present value for the molar enthalpy of fusion is 13 J/mol higher than obtained earlier. A redetn. of the enthalpy of fusion of tin was also made. The resulting molar enthalpy of fusion is  $\Delta_{fus}H_m = (7179 \pm 15)$  J/mol. This value is 16 J/mol lower than the one obtained for a similar sample 18 a ago. The differences seem to indicate that the systematic errors are somewhat larger than expected at the time.

( $T_m$ ,  $\Delta_{fus}H_f$ ;  
 $T_{f2}$ ,  $\Delta H_m$ )

C.A. 1994, 120, N2

9/2

1994

142922t Specific heat of indium below 1mK. Karaki, Y.;  
Sakata, M.; Ishimoto, H. (Inst. Solid State Phys., Univ. Tokyo,  
Tokyo, Japan 106). *Physica B* (Amsterdam) 1994, 194-196, 461-2  
The sp. heat of indium was measured below 1mK to det. the  
sign of the elec. field gradient q. Results show it is pos. The authors  
discuss a possibility of a nuclear magnetic ordering in such a  
dipolar system in magnetic field.

( $C_p$ ,  $T < 1mK$ )

c.a. 1994, 121, N/2

9h

[Om. 37473]

1994

Nakasone K., Takamizawa K.,  
et al.,

( $C_p$ ,  $\Delta H_m$ ) Thermochem. Acta, 1994,  
233, 175-185

Fr

1995

Hoch Michael;

Z. Metallk. - 1995, 86, N8,  
C. 557-560.)

(P)

Tetraedritkompleks  
gekristallizierter Augite u.  
Cummata. (all: Sh; I)

1995

23 Б335. Теплоемкость жидкых и переохлажденных  
жидких металлов и сплавов. Heat capacity of liquid and  
undercooled liquid metals and alloys / Sommer F. // J.  
Alloys and Compounds .— 1995 .— 220 , № 1 - 2 .—  
С. 174—178 .— Англ.

Обсуждены тенденции в т-рных и концентрац. зависимостях экспериментально определенных теплоемкостей жидк. и переохлажденных жидк. металлов и сплавов. Продемонстрирована способность нескольких приближений и моделей описывать различные х-ки теплоемкости жидк. металлов и переохлажденных жидк. металлов и сплавов. Описан новый адиабатич. калориметр, предназначенный для определения теплоемкости жидк. сплавов до 1500К. С использованием этого калориметра измерена теплоемкость тв. и жидк. индия вблизи т-ры плавления, а полученные результаты сравнены с лит. данными.

В. Ф. Байбуз

Х. 1995, № 23

F: In

P: 1

01139315

1996

?

2Б343. Зависимость теплоты плавления и температуры плавления индия от давления. On the pressure  
Методом ДТА исследованы фазовые диаграммы расплавов солей РЗЭ систем SmCl<sub>3</sub>-ZnCl<sub>2</sub> и SmCl<sub>3</sub>-ZnCl<sub>2</sub>-MgCl<sub>2</sub>. Фазовая диаграмма бинарной системы SmCl<sub>3</sub>-ZnCl<sub>2</sub> показывает простую эвтектику с эвтектич. т-рой 290°C (7,7 мол.% SmCl<sub>3</sub>). Фазовая диаграмма тройной системы SmCl<sub>3</sub>-ZnCl<sub>2</sub>-MgCl<sub>2</sub> также является простой трехкомпонентной эвтектикой с эвтектич. температурой 282°C (7 мол.% SmCl<sub>3</sub> и 92,5 мол.% ZnCl<sub>2</sub>).

dependence of the heat of fusion and melting temperature  
of indium / Hohne G. W. H., Dollhopf W., Blankenhorn K.,  
Mayr P. U. // Thermochim. acta. - 1996. - 273. - с. 17-  
24. - Англ.

С помощью дилатометра высокого давл. исследована  
зависимость от давл. до 400 МПа т-ры плавления и  
изменения объема при плавлении индия. Найдено, что  
зависимость теплоты плавления индия от давл. описывается  
ур-нием Клаузиуса-Клайперона. На основе полученных  
результатов и имеющихся лит. данных предложены  
аппроксимации для зависимости от давл. для теплоты  
плавления и т-ры плавления индия.

1996

ОМ 39315

F: In

P: 1

2Б343. Зависимость теплоты плавления и температуры плавления индия от давления. On the pressure dependence of the heat of fusion and melting temperature of indium / Hohne G. W. H., Dollhopf W., Blankenhorn K., Mayr P. U. // Thermochim. acta. - 1996. - 273. - С. 17-24. - Англ.

восстановителями / Лопатин С. И. // Ж. прикл. химии. - 1997. - 70, 6. - С. 909-912. - Рус.

Эффузионным методом Кнудсена с масс-спектрометрическим анализом газовой фазы исследованы процессы парообразования фосфатов натрия и кальция в смеси с молибденом, железом и алюминием.

In

Om 39315

1996

124: 243704r On the pressure dependence of the heat of fusion and melting temperature of indium. Hoehne, G. W. H.; Dollhopf, W.; Blankenhorn, K; Mayr, P. U. (Sektion fuer Kalorimetrie, University of Ulm, D-89069 Ulm, Germany). *Thermochim. Acta* 1996, 273, 17-24 (Eng). The pressure dependence of the fusion temp. and the fusion vol. change of indium was investigated with the aid of a high-pressure piston-cylinder-type dilatometer up to 400 MPa. From these results, the pressure dependence of the enthalpy of fusion was calcd. by the Clausius-Clapeyron equation. From these results, together with those of other authors, a best value approxn. of the pressure dependence of both quantities was obtained. The method is suggested as the basis for the calibration of high-pressure thermal anal. devices, esp. those for DTA and DSC.

( $\Delta mH_f$ ,  $T_m$ )

C. A. 1996, 124, N18

In

1996

125: 97264z Specific heat below 1 mK and the electric-field gradient in indium. Karaki, Yoshitomo; Kubota, Minoru; Ishimoto, Hidehiko (Inst. Solid State Physics, Univ. Tokyo, Tokyo, Japan 106). *Phys. Rev. B: Condens. Matter* 1996, 54(1), 427-432 (Eng). The sp. heat of polycryst. indium has been measured to well below 1 mK to det. the nuclear quadrupole interaction and to study the nuclear spin-spin interaction. The sign of the elec. field gradient, eq., is pos. instead of the neg. sign reported previously. This sign agrees with a recent calcn. based on band theory. The local field coming from the nuclear spin-spin interaction is detd. to be  $b_{int} = 43 \pm 5$  mT in indium.

( $C_f$ ,  $T < 1$   
mK)

C.A. 1996, 125, n8

yr

1996

Volkov L.P.,

(огранич.)

C<sub>p</sub>, T<sub>m</sub>, T<sub>f</sub>,  
Sm H, SVH

Izv. Vysch. Uchebn.  
Zaved., Khim. Khim.-  
Tekhnol. 1996, 39 (4-5),  
50-55.

(ал. B; I)

Jn

1997

(P) AsH

126: 298145f Vapor pressures and sublimation enthalpy of solid indium(III) iodide. Brunetti, Bruno; Giustini, Antonio; Piacente, Vincenzo (Dip. Chim., Univ. "La Sapienza", 00185 Rome, Italy). *J. Chem. Thermodyn.* 1997, 29(2), 239–246 (Eng), Academic. The torsion- and Knudsen-effusion techniques were used to det. the temp. dependence of the vapor pressure of solid indium(III) iodide,  $\lg(p/k\text{Pa}) = (12.30 \pm 0.30) - (6520 \pm 100)(K/T)$ , valid in the temp. range from 399 K to 479 K. By second- and third-law treatment of the vapor pressure data, the std. sublimation enthalpy,  $\Delta_{\text{sub}}H_m^\circ(T = 298.15 \text{ K}) = (136 \pm 5) \text{ kJ}\cdot\text{mol}^{-1}$ , was derived.

C. A. 1997, 126, N22

1997

128: 40211n Melting of indium by temperature-modulated differential scanning calorimetry. Ishikiriyama, K.; Boller, A.; Wunderlich, B. (Dep. Chem., Univ. Tennessee, Knoxville, TN 37996-1600 USA). *J. Therm. Anal.* 1997, 50(4), 547-558 (Eng), Akademiai Kiado. The melting and crystn. of a sharply melting std. has been explored for the calibration of temp.-modulated differential scanning calorimetry, TMDSC. Modulated temp. and heat flow have been followed during melting and crystn. of indium. It is obsd. that indium does not supercool as long as crystal nuclei remain in the sample when analyzing quasi-isothermally with a small modulation amplitude. For std. differential scanning calorimetry, DSC, the melting and crystn. temps. of indium are sufficiently different not to permit its use for calibration on cooling, unless special anal. modes are applied. For TMDSC with an underlying heating rate of  $0.2 \text{ K min}^{-1}$  and a modulation amplitude of 0.5-1.5 K at periods of 30-90 s, the extrapolated onsets of melting and freezing were within 0.1 K of the known melting temp. of indium. Further work is needed to sep. the effects originating from loss of steady state between sample and sensor on the one hand and from supercooling on the other.

( $T_m, \Delta_m H$ )

C.A. 1998, 128, N4

F: In

P: 1

1998

23Б326. Теплосодержание и теплоемкость жидкого индия при высокой температуре / Быков А. С., Пастухов Э. А. // Расплавы. - 1998. - 2. С. 12-15. - Рус.

Калориметрическим методом сброса измерено изменение энталпии индия при нагреве от комнатной температуры до температуры  $T$  ( $T=1046-1505$  К) в атмосфере аргона. Построен график зависимости изменения энталпии от температуры, и найдено аналитическое выражение для описания этой зависимости. В результате дифференцирования аналитической функции определена теплоемкость жидкого индия в указанном температурном интервале. Полученные результаты сопоставлены с имеющимися справочными данными.

1998

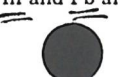
In, Pb

$\Delta H$

+1

A

129: 151847q Melting vs. solidification of a pure metal analyzed by DSC. Clavaguera, N.; Clavaguera-Mora, M. T.; Fontan, J.; Touron, J. L.; Comas, C. (Grup de Fisica de l'Estat Sblid, Dept. E.C.M., Facultat de Fisica, Universitat de Barcelona, Barcelona, Spain 08028). *Mater. Res. Soc. Symp. Proc.* 1998, 481(Phase Transformations and Systems Driven Far from Equilibrium), 33–38 (Eng), Materials Research Society. Attention is focused on the direct measurement of the calorimetric signal obtained under isothermal hold of the sample at a temp. close to the equil. melting temp.  $T_m$ , which results in both melting of an overheated solid and solidification of an undercooled melt. The non-equil. transformations are monitored by DSC under isothermal regime, with previous continuous heating/continuous cooling of the sample. The dependence of the calorimetric signal on thermodn. factors,  $\Delta H$  and  $\Delta G$ , is explored. Here  $\Delta H$  and  $\Delta G$  are, resp., the melting enthalpy and Gibbs free energy difference between the crystal and the liq. In particular, the results of the investigation performed on the melting/solidification behavior of pure In and Pb are presented.



C.A. 1998, 129, v12

1999

Ин.

F: In

P: 1

ЗБ328. Критическая оценка энталпий плавления металлов, используемых в качестве энталпийных стандартных образцов при средних и высоких температурах. Cri assessment of the enthalpy of fusion of metals used as enthalpy standards moderate to high temperatures / Stolen Svein, Gronvold Fredrik // Thermoc acta. - 1999. - 327, 1-2. - С. 1-32. - Англ.

Обзор. Проведена крит. оценка значений энталпий плавления металлов, используемых как энталпийные станд. образцы. Показано, что в результате современных усовершенствований высокот-рной ДСК стала актуальной проблема пересмотра стандартов для



высоких т-р. Рассмотрены параметры процесса плавления для Ga, In, Sn, Cd, Bi, Pb, Zn, Sb, Al, Ag, Au, Cu, Ni и Co - в к-рые м. б. использованы в кач-ве станд. образцов в интервале т-р от т-ры окружающей среды до 1768 К. Приведен подробный обзор результатов определение энталпии плавления для каждого индивидуального металла с учетом кач-ва образца и использовавшихся методик определения. Рекомендованы значения энталпий плавления металлов и приведены их оцененные погрешности. Обсужд вопросы, связанные с влиянием кач-ва образца, наличия собственных дефектов термообработки на оценку погрешностей рекомендованных значений. Дан также краткий обзор современных калориметрич. методов. Библ. 192.

9<sub>R</sub>

1999

Stoler Sreir et al.,

Thermochim. Acta 1999,  
327(1-2), 1-32.

(SKm)

(all. fa; I)

9/2

(DM. 40204)

2000

Ковалевский С.В., Менако-  
лончук, за II-Р;  
акану

Химии в кипячении  
ченной воды развитии; 280;

2, 135-137:

Биокомплекс

хук, каша,

песни, шершь и засеки;  
конькотка и асаны.

In

2001

F: In ( $T_m$  при высоких давл.)  
P: 1

02.13-19Б2.162. Плавление индия под высоким давлением, определенное монохроматической рентгеновской дифракцией в ячейке с алмазной наковальне нагреваемой извне.  
Melting of indium at high pressure determined by monochromatic X-ray diffraction in an externally-heated diamond anvil cell Shen Guoyin, Sata Nagayoshi, Rivers Mark L., Sutton Stephen R. // Appl. P Lett. - 2001. - 78, N 21. - С. 3208-3210. - Англ.

С помощью рентгенографических измерений изучены особенности плавления инд высоком давлении в ячейке с алмазной наковальней, нагреваемой извне. Плав при высоком давлении определялось по появлению диффузного рассеяния от расплава с одновременным исчезновением сигналов дифракции от кристалла. Наблюдаемая кривая плавления хорошо согласуется с результатами, полученными ранее, основанными на измерениях удельного сопротивления в поршневом цилиндрическом приборе. —